

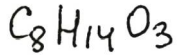
$C_6H_{10}O_2$

1981

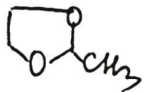
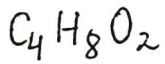


96: 201588d Determination of the heat of fusion of ethers of ethylene and diethylene glycols. Grigorenko, V. I.; Arbuzova, G. G.; Pigulevskaya, V. G. (Khim.-Metall. Inst., Karagandı, USSR). Deposited Doc. 1981, VINITI 1773-81, 6 pp. (Russ.). Avail. VINITI. The heats of melting of ethylene glycol monovinyl ether [764-48-7], diethylene glycol monovinyl ether [929-37-3], 2-methyl-1,3-dioxolane [497-26-7], diethylene glycol diethyl ether [764-99-8], and ethylene glycol divinyl ether [764-78-3] were 3.09, 6.42, 5.32, 6.37, and 3.05 kcal/mol, resp. The heats of melting of several common compds. (e.g., C_6H_6 [71-43-2]) were also detd. in order to est. a calorimetric measurement error, which increased from 1.5% to 1020% with decreasing m.p. of substances studied.

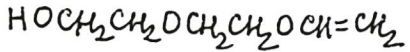
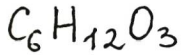
Эмануэльчиков
дубоссарский экспр



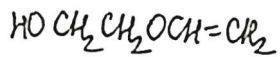
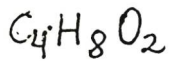
дигидроциклический
диэпоксидный эфир



2-метил-1,3-диксолан

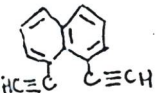


дигидрокинамическое
моновиниловое
эфирир



этаногликолев
маковиноловый
эфир

C₁₄H₈

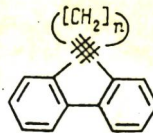


1,8-диэтилн-
афталин
группы
стекло

(V)

19 Б160. Трансантнулярные взаимодействия между ацетиленами. Исследование методом фотоэлектронной спектроскопии 1,8-диэтилнафталина и циклических производных 2,2'-диэтилбифенила. Gleiter Rolf, Schäfer Wolfgang, Eckert-Maksic Mirjana. Transannulare Wechselwirkungen zwischen Acetylenen — Photoelektronenspektroskopische Untersuchungen an 1,8-Diethylnaphthalin und cyclischen Derivaten von 2,2'-Diethylibiphenyl. «Chem. Ber.», 1981, 114, № 6, 2309—2321 (нем.; рез. англ.).

Измерены фотоэлектронные спектры 1,8-диэтил-I (II, I — нафталин), (III), (IV); 2,2'-диэтилбифенила (V), 1-этинил-I (VI), 2-этинил-I (VII), 1,5-диэтил-I



III n=4

IV n=5

X-1981, N19

1981

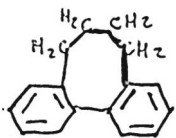
(VIII), 1-винил-I (IX) и 1,8-дивинил-I (X). Первый потенциал ионизации (ПИ) равен (эВ): II 7,88, III 8,04, IV 8,04, V 8,54, VI 8,03, VII 8,11, VIII 7,91, IX 7,89, X 7,72. На основе теоремы Купменса и расчетов I-X методом ССП МО ЛКАО в приближениях МЧПДП/3, МПДП и СЧПДП дано отнесение первых ПИ. Для оценки трансаннулярного взаимодействия ацетиленовых фрагментов проведены модельные расчеты ПИ II. Они дали значение резонансного интеграла $\beta = -0,48$ эВ. Аналогичные оценки для III и IV сделать не удалось ввиду сильного взаимодействия этиниловых и бифенилового фрагментов.

В. Фаустов

С м
ч н

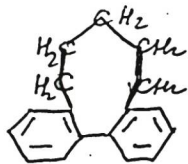
$C_{16}H_{16}$

2,2'-метрацетилбифенил(тт)



$C_{17}H_{18}$

2,2'-незамещенные бигеные (~~ти~~)

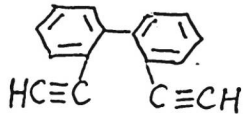


1981

1981, N19

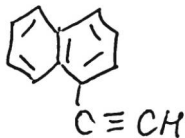
$C_{16}H_{10}$

2,2'-диэтинибензен(IV)



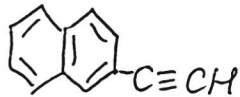
$C_{12}H_8$

1-этиненкаготаных ~~(VII)~~



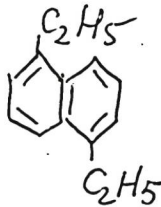
$C_{12}H_8$

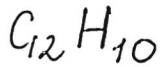
2-этиновое кетогомицес (VII)



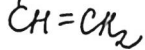
$C_{14}H_{16}$

1,5-диэтилнафталин ($\text{C}_{14}\text{H}_{16}$)



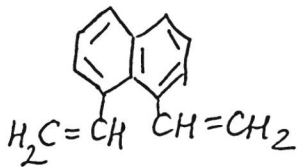


1- винилкаграмине (~~ти~~).



$C_{14}H_{12}$

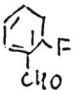
1,8-дивинилнафталин ($\underline{\underline{X}}$)



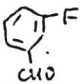
C₇FH₅O

1981

фторбензальдегиды:



o-



m-

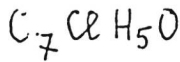


p-

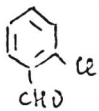
96: 132533t A¹A'(nπ*) ← X¹A' absorption spectra of fluoro- and chlorobenzaldehyde vapors. Haque, M. K.; Thakur, S. N. (Dep. Phys., Banaras Hindu Univ., Varanasi, 221 005 India). Indian J. Phys., [Part] B 1981, 55B(6), 477-90 (Eng). Complete assignments of the vibronic bands of o-, m-, and p-fluoro- and -chlorobenzaldehydes obsd. in the A¹A''(nπ*) ← X¹A' vapor phase electronic absorption under medium resoln. are reported. Thirteen excited state (A¹A'') fundamental frequencies were obsd., out of which 9 were assigned to normal modes of vibration in the excited state and correlated with their ground state (X¹A') counterparts.

v_i:

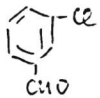
C.A. 1982, 96, N 16



хлорбензальдегид



$\alpha -$



$\mu\text{I} -$



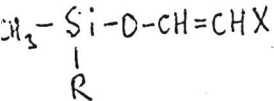
$\nu -$



1983

СН₃

1



$\mu_{1\cdot92}$, K_p

исследование изомерии

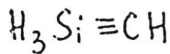
} 17 Б294 Деп. Поворотная изомерия винилоксиоргансиланов. Дмитриева В. К., Колодяжный Ю. В., Лисовин Е. Г., Ольховская Л. И., Комаров Н. В., Осипов О. А. Ростов. н/Д ун-т. Ростов-н/Д, 1983. 15 с. Библиогр. 28 назв. (Рукопись деп. в ОНИИТЭХИМ г. Черкассы 13 апр., 1983 г., № 392хп-Д83).

Методами дипольных моментов и ИК-спектроскопии изучена поворотная изомерия винилоксиоргансиланов. Me₂RSiOCH=CHX (R=Me, EtO, n-PrO, n-BuO, C≡CBu-n, C≡CPH; X=H, Cl, Br). Установлено, что в состав равновесной смеси входит конформер с углом поворота винильной группы вокруг связи $C_{sp^2}-O$, равным 60°. Спектральное определение констант равновесия в интервале т-р 180—298° К и его термодинамич. параметров (ΔG , ΔH , ΔS) показало, что состояние конформационного равновесия определяется природой заместителя X в β-положении винильной группы и характером заместителя R у атома кремния. Автореферат

X. 1983, 19, N 17

SiCH_4

1982

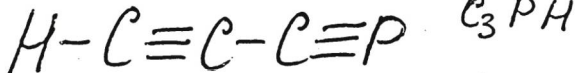


М.Р.

12 Д564. Миллиметровый спектр силилацетилена в основном колебательном состоянии. Millimetre wave spectrum of silyl acetylene in the ground vibrational state. Carlier J., Bauer A. «Can. J. Phys.», 1982, 60, № 8, 1079—1080 (англ.; рез. фр.)

В диапазоне 125—231 ГГц исследован микроволн. спектр молекулы силилацетилена. Идентифицированы линии вращательных переходов с $13 \leq J \leq 24$ в основном колебательном состоянии. Определены значения вращательных постоянных и постоянных квартичного и секстичного центробежного искажения. М. Р. Алиев

90.1982, 18, N12



1981

Фосфабутадиен
диси

12 Б192. Микроволновый спектр фосфабутадиена,
 $\text{H}-\text{C}\equiv\text{C}-\text{C}\equiv\text{P}$. Kroto H. W., Nixon J. F., Ohno K. The microwave spectrum of phosphabutadiyne,
 $\text{H}-\text{C}\equiv\text{C}-\text{C}\equiv\text{P}$. «J. Mol. Spectrosc.», 1981, 90, № 2,
512—516 (англ.)

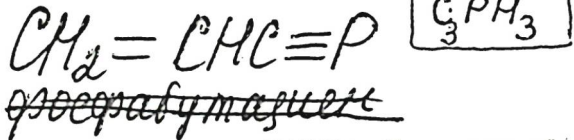
Измерены в области частот 26,5—40 ГГц МВ-спектры
 $\text{H}-\text{C}\equiv\text{C}-\text{C}\equiv\text{P}$ (I) и $\text{D}-\text{C}\equiv\text{C}-\text{C}\equiv\text{P}$ (II), в основ-
ном и нескольких возбужденных колебательных состоя-
ниях. I и II получены при пиролизе смесей 2:1 $\text{H(D)}-\text{C}\equiv\text{CCH}_2\text{Cl} : \text{PCl}_3$ при т-ре 1100° С. Для I и II опреде-
лены значения вращательных постоянных центробежно-
го искажения, колебательно-вращательные параметры,
полные дипольные моменты и колебательные частоты.

С. Н. Мурзин

МВ спектр,

м.н.

Х. 1982, 19, № 12.



1981

12 Б191. Микроволновый спектр 1-фосфабут-3-ен-1-ина, $\text{CH}_2=\text{CHC}\equiv\text{P}$. Ohno K., Koto H. W., Nishio J. F. The microwave spectrum of 1-phosphabut-3-ene-1-yne, $\text{CH}_2=\text{CHC}\equiv\text{P}$. «J. Mol. Spectrosc.», 1981, 90, № 2, 507—511 (англ.)

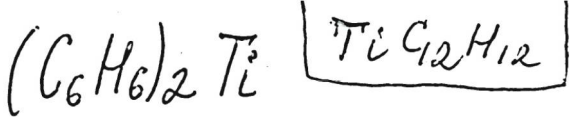
Nf спектр,

М.Л.

Измерен в области частот 26,5—40 ГГц МВ-спектр $\text{CH}_2=\text{CHC}\equiv\text{P}$ в основном и двух возбужденных колебательных состояниях. По эффекту Штарка для трех переходов определены компоненты дипольного момента $\mu_a = 1,181$ (2), $\mu_b = 0,074$ (1) и полный дипольный момент $\mu = 1,183$ (2) D.

С. Н. Мурзин

X. 1982, 19, N 12.



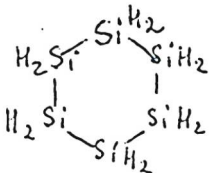
1981

12 Б161. Дибензолтитан(0): структура, спектры и химические свойства. Гагова Г. Г., Kyashina E. F., Krasochka O. N., Kichigina G. A., Shvetsov Yu. A., Lisetsky E. M., Atoyan L. O., Borod'ko Yu. G. Dibenzene titan(0): structure, spectra and chemical properties. «Nouv. j. chim.», 1981, 5, № 12, 603—604 (англ.)

Проведено рентгеноструктурное исследование $(C_6H_6)_2Ti$ (I). Измерены электронные спектры (200—800 нм), ИК-спектр (4000—400 см⁻¹) и спектр КР. I. Проведено отнесение частот колебаний металл — лиганд. Показано, что I является Кт р-цик полимеризации ацетилена и этилена.
И. А. Гарбузова

X. 1982, 19, N 12.

Si_6H_{12}



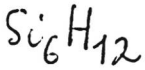
геометрическая
структура

1982

24 Б104. Электронографическое исследование газообразного циклогексасилана. Smith Zuzana, Almenningen Arne, Hengge Edwin, Kovar Dieter. Electron-diffraction study of gaseous cyclohexasilane. «J. Amer. Chem. Soc.», 1982, 104, № 16, 4362—4366 (англ.)

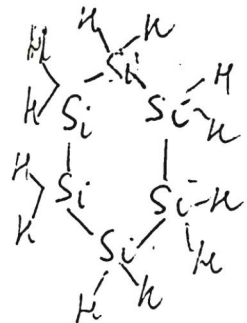
Методом газовой электронографии при т-ре 130° С изучена структура молекулы циклогексасилана (I). Несмотря на то, что на основании полученных данных конформаций состав I однозначно определить не удалось, установлено, что I существует преимущественно в форме кресла. Найдены след. значения основных межъядерных расстояний (r_a , Å) и углов: Si—S i2,342(5), Si—H 1,484(8), $\angle\text{SiSiSi}$ 110,3(4)°, двугранный угол SiSiSiSi 57,9(9)°. Цифры в скобках представляют полную ошибку, включающую величины 2σ , оценку систематич. погрешности и корреляционную перв. эксперим. данных. Путем повторного анализа колебательного спектра I

Х. 1982, 19, N 24



произведена оценка простого валентного силового поля,
на основе к-рой рассчитаны амплитуды колебаний и
колебательные поправки к эффективным межъядерным
расстояниям.

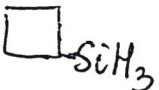
В. Спиридонов



МДС
дал

$\text{SiC}_4\text{H}_{10}$

1982



м.л.

Х. 1983, 19, N 13

13 Б222. Микроволновый спектр второго конформера циклобутилсилана. Microwave spectrum of a second conformer of cyclobutylsilane. Wurstner A., Rudolph H. D. «J. Mol. Struct.», 1983, 97: Determinat. Mol. Struct. Microwave Spectrosc. and Electron Diffract. Proc. 6 Eur. Conf., Tübingen, 30 Aug.—3 Sept., 1982, 327—330 (англ.)

Измерены в области частот 8—40 ГГц МВ-спектры двух конформеров циклобутилсилана, экваториального (Э) и аксиального (А), в основном и нескольких возбужденных колебательных состояниях. Для Э- и А-конформеров идентифицировано соотв. 68 и 25 переходов a - и c -типа. Второй конформер наблюдался впервые. Анализ спектров выполнен в приближении модели почти вытянутого асим. волчка с включением эффектов центробежного искажения вплоть до 4-го порядка по угловому моменту. Вращательные постоянные Э- и А-конформеров в основном состоянии соотв. равны (МГц): $A=8984,388$ и $7404,909$, $B=2395,635$ и $2682,684$, $C=2101,061$ и $2445,930$. Измеренные по эффекту Штар-

ка компоненты дипольного момента, соотв., равны
 $\mu_a = 0,884$ и $0,806$ Д, $\mu_c = 0,225$ и $0,397$ Д. Спектры в
возбужденном низкочастотном колебательном состоянии
(τ SiH₃) идентифицированы для обоих конформеров.
Потенциальный барьер внутреннего вращения группы
SiH₃ для А-конформера равен $V_3 = 2150$ кал/моль.

С. Н. Мурзин

6,82
тени

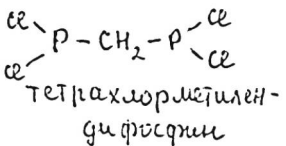
С Р Cl₄ H₂

1983

З Б1256. Колебательные спектры и конформационное равновесие тетрахлорметилендиfosфина. Новиков В. П., Ярков А. В., Умарова И. О., Раевский О. А., Куркин А. Н., Новикова З. С. «Изв. АН СССР. Сер. хим.» 1983, № 10, 2252—2257

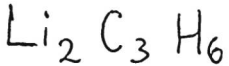
Получены ИК- и КР-спектры газообразного, жидкого и крист. CH₂(PCl₂)₂. По спектрам установлено наличие конформац. равновесия с отношением конформеров при коми. т-ре 2 : 3. Результаты конформац. анализа тетрахлорметилендиfosфина показывают, что при ~20° С существует равновесие трех конформеров с примерно равным содержанием, два из к-рых, возможно, спектроскопически иеразличимы. Проведен расчет частот и форм нормальных колебаний и расчет валентно-силового поля.

Г. К.

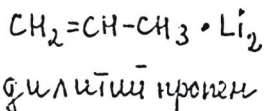


спектры

X. 1984, 19, № 3



1982



полимеры,
струйка

2 Б44. Неэмпирические расчеты дилитийпропенов.
Ab initio calculations of dilithiopropenes. Kost Daniel, Klein Joseph, Streitwieser Andrew, Schriver George W. «Proc. Nat. Acad. Sci. USA, Phys. Sci.», 1982, 79, № 12, 3922—3926 (англ.)

Неэмпирическим методом ССП МО ЛКАО в базисе 3-21-ГФ проведены расчеты комплексов между молекулой Li_2 и молекулой пропена $\text{CH}_2=\text{CH}-\text{CH}_3$ (I). Исследовано 6 различных конфигураций включая двухмостиковые, в к-рых оба атома Li взаимодействуют с I посредством π -связей, и одномостиковые в к-рых один атом Li σ -связан с атомом C, а другой (мостиковый) — образует π -связь с I. Наиболее стабильной найдена дважды мостиковая конфигурация, в к-рой атомы Li расположены симметрично по обе стороны скелета из трех атомов C в перпендикулярной плоскости, проходящей через средн. атом C (цис- π,π -конфигурация). Оптимизированные значения геометрич.

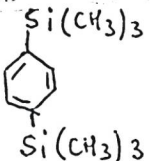
X, 1983, 19, № 2

параметров равны: угол LiCLi 90° , расстояние Li—Li 3,008 Å, расстояние между Li и последовательно расположеными атомами углерода равны соотв. 2,028; 2,116 и 2,186 Å. Из анализа распределения электронной плотности и структуры MO сделан вывод, что комплекс между I и Li_2 можно рассматривать как триплет из двух катионов лития и дианиона пропенилidenа.

Э. Герман

е ро

$\text{Si}_2\text{C}_{12}\text{H}_{22}$ 1982



геометрич.
структур

4 Б116. Строение молекулы п-бис(trimethylsilyл)-бензола по данным газовой электронографии. The molecular structure of p-bis(trimethylsilyl)benzene from gas phase electron diffraction. Rozsondai Béla, Zelei Borbála, Hargittai István. «J. Mol. Struct.», 1982, 95, 187—196 (англ.).

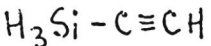
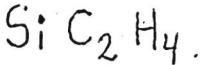
В плане систематич. исследований пара-дизамещ. пр-ных бензола изучено строение молекулы названного соединения. Получены след. геометрич. параметры (r_g): $\text{C}-\text{C}_{\text{ср}} 140,8$ (3) пм, $\text{Si}-\text{C}_{\text{ср}} 188,0(4)$, $\text{C}-\text{Нметил} 111,3$ (3), $\angle \text{C}_6-\text{C}_1-\text{C}_2 115,7$ (6) $^\circ$, $\text{C}_1-\text{Si}-\text{CH}_3 109,2$ (4), $\tau (\text{C}_2-\text{C}_1-\text{Si}-\text{CH}_3) 13,6$ (11) ($\tau=0^\circ$ при затенении связей C_1-C_2 и $\text{Si}-\text{CH}_3$). Для средних значений параметров найдены также возможные неравноценности: $\Delta(\text{C}-\text{C}) = r(\text{C}_1-\text{C}_2) - r(\text{C}_2-\text{C}_3) 1,6$ (7) пм и $\Delta(\text{Si}-\text{C}) = r(\text{Si}-\text{CH}_3) - r(\text{Si}-\text{C}_1) 3,3$ (7) пм. С эксперим. данными одинаково хорошо согласуется модель свободного вращения относительно

X·1983, 19, N 4

связей Si—C1 и Si—C4. Отмечено, что: 1) конфигурация связей вокруг атома кремния близка к тетраэдрической, 2) связь Si—CH₃ длиннее, чем связь Si—Cl вопреки результатам рентгеноструктурного определения, 3) степень отклонения бензольного кольца от правильного шестиугольника согласуется с электроположительным характером тристиметилсилильной группы. В. Мастрюков



1982



силилацетилен

Vi, M. A.

ЗБ279. Миллиметровый спектр силилацетиlena в основном колебательном состоянии. Millimetre wave spectrum of silyl acetylene in the ground vibrational state. Cagliel J., Bauer A. «Can. J. Phys.», 1982, 60, № 8, 1079—1080 (англ.)

Измерен в области частот 125—231 ГГц МВ-спектр силилацетиlena, ${}^{28}\text{SiH}_3\text{CCH}$, в основном колебательном состоянии. Идентифицирована К-структура 9 вращательных переходов со значениями квантового числа $J = 12—24$. Анализ спектра выполнен в приближении модели симм. волчка с учетом квартичного и секстичного центробежного искажения. Определены вращательная постоянная $B_0 = 4828,6651(4)$ МГц и постоянные центробежного искажения $D_J = 1,1737(5)$, $D_{JK} = 62,723(16)$ кГц, $H_{JJK} = 0,30(1)$, $H_{JJK} = 1,33(14)$ Гц. Полученные молек. постоянные воспроизводят вращательные частоты в пределах стандартного отклонения 0,038 МГц.

С. Н. Мурзин

X. 1983, 19, N3

$\text{SnC}_6\text{H}_5\text{Cl}_3$

1982



$\text{SnC}_6\text{H}_5\text{Cl}_3$

фенилоловострихлорид

Исследование,

Структура

12 Д362. Использование сателлитов Sn в спектрах ЯМР ^1H ориентированных молекул. Структура трихлорида фенилолова. The use of Sn satellites in ^1H NMR spectra of oriented molecules. The structure of phenyltin trichloride. Diehl P., Attegn J. «Org. Magn. Reson.», 1982, 19, № 3, 148—149 (англ.)

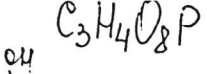
Исследованы сателлитные линии в спектрах ПМР, обусловленные ядрами ^{117}Sn и ^{119}Sn , для изучения структуры молекулы трихлорида фенилолова (I). С помощью моделирования на ЭВМ проведен анализ спектров, полученных на изотопно распределенных и на ориентированных молекулах I на частоте 90 МГц. Определены константы прямых и косвенных спин-спиновых связей протон—протон и протон—олово. В пределах ошибки эксперимента не обнаружено отклонения от соотношения $\gamma(^{119}\text{Sn})/\gamma(^{117}\text{Sn})=0,9558$. Поскольку литературные данные для силового поля молекулы I от-

90. 1982, 18, N 12

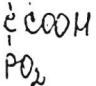
существуют, поправки на гармонич. колебания для диполь-дипольных связей аппроксимированы с использованием данных для силового поля монохлорбензола. Показано, что такое приближение может давать ошибочные поправки для дипольных связей между протонами, однако поправки для соответствующих связей между оловом и протонами практически равны нулю вследствие большой массы ядра олова. Из полученных результатов определены межъядерные расстояния, углы связи и параметры упорядочения для ориентированных молекул I. Отмечено, что длина связи $r_{C,Sn} = 2,034 \text{ \AA}$ согласуется с данными для других подобных молекул.

Т. К. П.





он



2,3-дифосфоглицериновая к-та

1983

§ 15 Б3247. Энталпии ионизации 2,3-дифосфоглицериновой кислоты. Enthalpies of ionization for 2,3-diphosphoglyceric acid. Dellagira Laura, Vickers Leland P., Hopkins Наггу Р. «J. Solut. Chem.», 1983, 12, № 11, 791—800 (англ.)

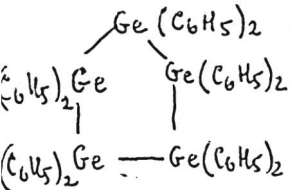
При т-ре 26,5° С методом калориметрич. Тт [титранты NaOH и $(\text{C}_2\text{H}_5)_4\text{NOH}$] определены энталпии ионизации ΔH_i 2,3-дифосфоглицериновой к-ты (I) по каждой из пяти ступеней. Установлено, что значения $\Delta H_i = 0,0 \pm 0,3$ ккал/моль. Этот результат подтвержден методом калориметрич. Тт двунатриевой соли I р-ром HCl. Обсуждаются причины, обусловившие столь незначительные значения ΔH_i в случае I. А. С. Соловкин

$\Delta H_{\text{искн}}$.

X. 1984, 19, N 15

$C_{60}H_{50}Ge_5$

1983



T_{tr}

X.1983, 19, №20

20 Б950. Формы дёкафенилцикlopентагермана (Ph_2Ge)₅. Die Formen des Decaphenylcyclopentagermans (Ph_2Ge)₅. Roß Ludwig, Dräger Martin. «Z. Naturforsch.», 1983, B38, № 6, 665—673 (нем.; рез. англ.).

Получены 5 крист. модификаций дёкафенилцикlopентагермана, в том числе две в чистом виде и три — содержащие р-ритель (бензол), к-рый освобождался при 70° С. При т-ре 190° С все фазы переходили в тетрагон. пластичную крист. fazу. Определена крист. структура триклиинной фазы и показано, что в соответствии с повышенной р-римостью по сравнению с содержащими гомологич. кольца соотв. тетра- и гексасоединениями с жесткими нормальными конформациями, триклиинной фазе присуща гибкая конформация молекул. Расположение фенильных групп — параллельное или перпендикулярное для внутри- и межмолекулярного случаев. Показано также, что гексафенилцикlopентагерман переходит в состояние пластичных кристаллов при т-ре 346° С.

А. Е. Вольпян

$C_3H_9FO_3SeSi$

1983

1) 21 Б209. Триметилсилиловый эфир фторсelenовой кислоты. Trimethylsilylester der Fluorselensäure. Do-
stál Karel, Sikola Yigit. «Z. Chem.», 1983, 23,
№ 5, 185 (нем.)

Синтезирован $Me_3SiOSeO_2F$ (I) и изучены его физи-
ко-хим. характеристики, а также зарегистрированы
спектры ЯМР и КР. Частоты колебаний $\nu_s(SeO_2)$ и
 $\nu_{as}(SeO_2)$ I лежат в области 951 и 1025 см^{-1} , соотв.
а частота вал. кол. $\nu(SeF)$ равна 661 см^{-1} . I реаги-
рует с $(Me_3Si)_2O$ ($T = -20^\circ$) с образованием $(Me_3-$
SO) $_2SeO_2$.

А. В. Бобров

v_i

X. 1983, 19, № 21

1985

21 Б3066. Зависимость термодинамических свойств алкилбензолов и их функциональных производных от строения. Нестерова Т. Н. «5 Всес. конф. по термодинам. орган. соедин.» Куйбышев, 1985, 36

Обобщены результаты исследования равновесий превращения алкил-бензолов, -фенолов, -галогенбензолов и -бифенилов (140 независимых р-ций). Сформирован подход к определению энталпий образования соединений рассматриваемых классов в газ. и жидк. состояниях; вычислены эффекты взаимодействия заместителей при различном их расположении в ароматич. ядре. При переходе от газ. к жидк. состоянию для алкилфенолов, трет-алкилбензолов и ряда др. соединений принципиально изменяется соотношение эффектов взаимодействия заместителей (в энталпиях образования), что в нек-рых случаях приводит к изменению относит. термодинамич. стабильности соединений.

А. С. Гузей

Х. 1985, 19, № 21

1985

21 Б3067. Анализ термодинамических функций изомеров положения ароматического ядра в алифатической цепи вторичных алкилбензолов (ВАБ) и алкилфенолов (ВАФ). Пимерзин А. А., Нестерова Т. Н. «5 Всес. конф. по термодинам. орган. соедин.» Куйбышев, 1985, 39

Из исследований жидкокомпозитных равновесий изомеризации и измерений давл. насыщ. паров определены энталпии образования в газ. и жидк. состояниях 33 ВАФ и 11 ВАБ. Оценены вклады для расчета х-к высших ВАБ и ВАФ по схемам Татевского и Бернштейна.

А. С. Гузей

Х. 1985, 19, № 21

1985

16 Б2334 Деп. Термодинамические свойства изобутилового спирта. Васильковская Т. Н., Шелковенко А. Э., Золин В. С., Голубев И. Ф.; Ред.: «Инж.-физ. ж.», Минск, 1985, 23 с. Библиогр. 11 назв.

(Рукопись деп. в ВИНИТИ 17 апр. 1985 г., № 2581—85 Деп.)

На основании лит. данных о термодинамич. св-вах изобутилового спирта в жидк. фазе, закрит. обл. и на линии кипения составлены ур-ние состояния и ур-ние зависимости давл. насыщенных паров спиртов от т-ры. Рассчитаны термодинамич. св-ва изобутилового спирта при т-рах 280—600 К и давл. 0,1—50 МПа.

Автореферат

ж. 1985, № 16.

1984

10 E723. Диэлектрические измерения при высоких давлениях и низких температурах. Ч. 6. Диэлектрические и термодинамические свойства циклогексанола. Dielectric measurements at high pressures and low temperatures. Pt 6. Dielectric and thermodynamic properties of cyclohexanol. Pingel Norbert, Poser Uwe, Würflinger Albert. «J. Chem. Soc. Faraday Trans.», 1984, Pt 1, 80, № 11, 3221—3231 (англ.)

Методом ДТА исследованы термодинамич. свойства твердого и жидкого циклогексанола в интервале т-р 160—370 К при давлении до 3 кбар. Кроме того, в интервале т-р 230—320 К измерены диэлектрич. проницаемость ϵ и диэлектрич. потери циклогексанола в диапазоне частот до 10 МГц при нормальном и повышенном давл. Исследованы переходы между тремя различными твердыми фазами и определены изменения энталпии и свободного объема при фазовых переходах. Установлено наличие так наз. «экзотермич. аномалии» при повышенных давлениях. Из полученного значения ϵ

1 Hz;

оф. 1985, 18, № 10

расчитан корреляционный фактор Кирквуда для циклогексанола и проведено сравнение с данными для подобных соединений (цикlopентанола, циклогексанола и 1-бутилхлорида). Библ. 40. Ч. 5. Würtzlinger A. «Ber. Bunsges Phys. Chem.», 1982, 86, 172. И. А. Б.

1984

} 21 Б3250. Фазовые переходы нечетных высокочистых
н-алканов — влияние давления на температуры переходов, определенные методом ДТА при высоком давлении. Phase transitions of odd n-alkanes of high purity — pressure dependence of the transition temperatures determined by high pressure DTA Takamizawa K., Nagaoka Y., Igii D., Urabe Y. «Thermochim. acta», 1985, 88, № 1: Calorimetry and Therm. Anal. Collec. Selec. Pap. 20 Anniversary Conf., Osaka, 13—16 Nov., 1984, 205—210 (англ.)

Методом ДТА при т-рах 300—400 К и давл. до 500 МПа исследованы полиморфные превращения в н-пентаконтане (I), н-гептаконтане (II) и н-тритириаконтане (III). Подробно описано устройство и работа установки для проведения ДТА при высоком давл., приведена ее схема. Установлено, что при атмосферном давл. I—III претерпевают фазовые переходы в тв. состоянии: I — при 313,5 и 320,1 К, II — при 316,1, 323,2 и 325,6 К, III — при 320,7, 330,3, 339,3 и 341,4 К. Во

T₂

X. 1985, 19, № 21

всех соединениях обнаружено по одному превращению
ориентац. типа. Построены фазовые $P-T$ -диаграммы
I—III. Показано, что с увеличением давл. т-ры превра-
щений растут.

В. Е. Смирнов



1985

21 Б3119. Термодинамика процесса испарения тетраэтилолова, триэтилалюминия и их двойных систем с диэтиловым эфиром. Виталёв С. Е., Баев А. К. «5 Всес. конф. по термодинам. орган. соедин.» Куйбышев, 1985, 82

Статическим методом исследовано испарение Et_2O (I), SnEt_4 (II) и AlEt_3 (III). Значения ΔH и ΔS испарения составили: I 29,5 кДж/моль и 92,7 Дж/моль·К; II 46,6 и 98,5; III 66,6 и 132,2. Состав пара I и II постоянный, в процессе испарения III его димерная форма диссоциирует с ростом т-ры. В системах I-II и I-III зависимость суммарной теплоты испарения от состава жидк. фазы имеет минимум при 50 мол. % I. Для термич. диссоциации газофазного комплекса I с II получено $\Delta H_{\text{т}}^0 = -52,2$ кДж/моль и $\Delta S_{\text{т}}^0 = 192,2$ Дж/моль·К.

А. С. Гузей

Х. 1985, 19, № 21

1985

21 Б3248. Исследование фазового перехода в 2,4,6-трибромфеноле методом спектроскопии КР. Голосова Л. Н., Данилов И. Ю. «Мол. ученые и спец.-нар. х-ву. Тез. 1 Краев. науч.-практ. конф., посвящ. памяти акад. Л. В. Криенского, Красноярск., 8—13 апр., 1985». Красноярск, 1985, 100 (рус.)

Исследовано влияние т-ры на спектры КР 2,4,6-трибромфенола (I) в окрестностях фазового превращения при 357 К. Подробно анализируются изменения в положении и форме линий при переходе в процессе нагрева и охлаждения с различными скоростями через т-ру превращения. На основе полученных данных обсуждается влияние фазового превращения на характер внутримолек. колебания I в области $300-100 \text{ см}^{-1}$.

В. Е. Смирнов

Trj
x. 1985, 19, № 21

1984

11 И219. Термодинамические свойства алкилбензолов и закон соответственных состояний. Махно М. Г., Кисляк Г. М. «Ультразвук и термодинам. свойства вещества». Курск, 1984, 7—10

Этилбензол и ксиолы в интервале T - p $(0,5—0,7) T_c$ и давл. $(1—60) p_c$ являются термодинамически подобными, и для них выполняется закон соответственных состояний. На основании ур-ния Тэйта—Таммана получено универсальное ур-ние состояния указанных в-в, представляющее собой однозначную зависимость между приведенными давлением, температурой и плотностью. Резюме

оф. 1985, 18, № 11

1984

11 И204. Некоторые термодинамические свойства н-гексана на линии насыщения вблизи критической точки. Зотов В. В., Неручев Ю. А. «Ультразвук и термодинам. свойства вещества». Курск, 1984, 70—73

Проведен термодинамич. расчет отношения теплоемкостей γ , адиабатич. β_s и изотермич. β_t сжимаемостей и внутреннего давления $\left(\frac{\partial U}{\partial V}\right)_T$ для жидкой и паровой фаз н-гексана на линии насыщения вблизи критич. точки. Показано, что γ сильно возрастает при приближении к критич. точке, причем значения γ для жидкой и паровой фаз при одних и тех же т-рах практически совпадают. Значения внутреннего давления $\left(\frac{\partial U}{\partial V}\right)_T$ для паровой фазы н-гексана и н-гептана укладываются практически на одну общую кривую, характеризующую зависимость $\left(\frac{\partial U}{\partial V}\right)_T$ от плотности ρ .

термод. свойств

д. 1985, 18, № 1

Резюме

1986

12 Б3033. Давление насыщенного пара и энергии межмолекулярных взаимодействий 1,2-дихлор-н-алканов. Варущенко Р. М. «Ж. физ. химии», 1986, 60, № 2, 291—294

Определена т-риая зависимость давления насыщ. пара 1,2-дихлор-н-нонана (I); вычислены норм. т-ра кипения и энталпия испарения I. Методом Татевского получены постоянные ур-ния для расчета энталпии испарения 1,2-дихлор-н-алканов при 298 К в приближении «связь с первым окружением». Приведена оценка полярных и неполярных составляющих энергий межмолек. взаимодействия 1,2-дихлор-н-алканов C_2-C_9 . Показано, что основной вклад в общую энергию вносят неполярные (дисперсионные) взаимодействия (75—95%). Для большинства гомологов индуц. энергии больше ориентац., исключение составляет 1,2-дихлорэтан, в жидк. фазе к-рого происходит дипольная стабилизация полярного гош-конформера.

Автореферат

(P)
X. 1986, 19, N 12

1985

12 Б3088. Упругости паров некоторых компонентов продукта окисления циклододекана: Д'идковская Н. В., Громогласов Ю. А. «Физ.-хим. основы и аналит. контроль орган. пр-в». М., 1985, 17—19

Получены эксперим. данные по упругостям паров ундекилового спирта, ундекилформиата и гидрокумола, к-рые обработаны в виде ур-ния Калингерта—Дэвиса.
Резюме

X.1986, 19, N/2

1986

12 Б2425 Деп. Вязкость и плотность н-гептана при давлениях до 245 МПа и температурах до 473 К. Фомина М. Г., Сагдеев Д. И., Мухамедзянов Г. Х., Якобсон М. М.; Казан. хим.-технол. ин-т. Казань, 1986. 12 с., ил. Библиогр. 12 назв. Рус. (Рукопись деп. в ОНИИТЭхим г. Черкассы 31.01.86 № 200-хп)

Приведены результаты измерений коэф. динамич. вязкости и плотности н-гептана при т-рах 293,15—473 К и давл. до 245 МПа. Макс. относит. погрешность измерения коэф. динамич. вязкости и плотности составляет 1,4 и 0,29% соответственно.

Автореферат

Х. 1986, 19, N 12

1984

11 Б3102. Калориметрическое изучение координационной способности трибутилфосфата в растворах:
Цветков В. Г., Цветкова Л. Я. «Пробл. калориметрии и хим. термодинам. Докл. на 10 Всес. конф.,
12—14 июня. 1984. Т. I. Ч. 2.» Черноголовка, 1984,
273—275

На основании калориметрич. данных по энталпиям смешения при 298 К донора электронов — ТБФ, широко используемого в кач-ве экстрагента различных соединений, с жидк. в-вами установлен след. ряд относит. электроноакцепторной способности: $\text{PCl}_3 < \text{SOCl}_2 < \text{SO}_2 <$
 $< \text{S}_2\text{Cl}_2 < \text{SeOCl}_2 < \text{AsCl}_3 < \text{VOCl}_3 < \text{VCl}_4 < \text{SnCl}_4 < \text{TiCl}_4 <$
 $< \text{SbCl}_5 < \text{GaCl}_3$. Отмечается, что ТБФ не образует достаточно прочных координац. соединений с SiCl_4 , GeCl_4 и MeSiCl_3 . Представлены в графич. виде зависимости от состава ΔH (смеш.) для бинарных систем ТБФ + де-кан, CCl_4 , SO_2 , CHCl_3 , Br_2 , AsCl_3 , HNO_3 , VOCl_3 , SnCl_4 .

Даных

Х. 1985, 19, N 11

и $TiCl_4$ [перечислены в порядке возрастания $-\Delta H$ (смеш.)]. В системе ТБФ+ HNO_3 максимум тепловыделения (30,9 кДж/моль) соответствует соотношению компонентов 1:1. Значение $-\Delta H$ разрения HNO_3 в избытке ТБФ (до конц-ииг 1 мол.%) составило 34,7, а ТБФ в избытке HNO_3 48,5 кДж/моль. Р. Г. Сагитов

1984

11 Б3105. Термохимическое моделирование процес-
са взаимодействия целлюлозы с щелочным раствором
железобиннонатриевого комплекса (ЖВНК). Ива-
нов А. В., Соколов В. В., Цветков В. Г., Пол-
торацкий Г. М. «Пробл. калориметрии и хим. термо-
динам. Докл. на 10 Всес. конф., 12—14 июня. 1984.
Т. 1. Ч. 2». Черноголовка, 1984, 316—318

Калориметрически определены ΔH смешения в водн. р-рах ЖВНК с гидроксилсодержащими соединениями (ГСС), в кач-ве к-рых использовались метанол, ДЭГ, глицерин и т. п. Данные свидетельствуют о хим. взаимодействии компонентов. Показано, что это положение м. б. распространено и на ГСС, моделирующие элементарное звено Ц. Расчет ΔH взаимодействия на 1 группу OH пиранозного кольца для таких ГСС, как α -метилглюкозид, α -D-глюкоза, α -D-ксилоза, целлобиоза, и для одного звена Ц дает величины от —11,1 до —12,7 кДж/моль ГСС, что, по-видимому, свидетельствует об образовании одинаковых соединений. Сделан вывод, что хелатообразование между ЖВНК и Ц, показанное и др. физ.-хим. методами, энергетически возможно.

Р. Г. Сагитов

X.1985, 19, N 11

1984

1 8 Б3032. Термохимия реакции гидролиза метилового эфира N-ацетилфенилаланина, катализируемой α -химотрипсином. Thermochemistry of the N-acetylphenylalanine methylester hydrolysis reaction catalyzed by α -chymotrypsin. Rekharsky M. V., Rumsh L. D., Aptonov V. K., Gal'chenko G. L. «Thermochim. acta», 1984, 81, 167—174 (англ.).

При 298,15 К в 0,05 М фосфатном буфере и pH 7 в присутствии α -химотрипсина как Кт определена ΔH р-ции $\text{MeCONHCH}(\text{CH}_2\text{Ph})\text{COOMe}(\text{RMe}) \rightleftharpoons \text{H}_2\text{O} \rightarrow \text{R}^- + \text{MeOH} + \text{H}^+$. Величина ΔH р-ции составила $-4,81 \pm 0,10$ кДж/моль. С использованием экспериментально измеренных энタルпий ионизации буферного р-ра ($-3,98 \pm 0,20$ кДж/моль) и N-ацетилфенилаланина ($-2,46 \pm 0,09$ кДж/моль) для ΔH р-ции гидролиза в воде. р-ре $\text{RMe} + \text{H}_2\text{O} \rightarrow \text{RH} + \text{MeOH}$ получено значение $1,63 \pm 0,25$ кДж/моль. Из сопоставления результатов с лит. данными для др. эфиров среди величины ΔH гидролиза по эфирной связи оценена в $1,80 \pm 0,25$ кДж/моль.

Р. Г. Сагитов

δΗ₁

Х, 1985, 19, N 8

1984

8 Б3043. Термодинамические параметры равновесия димер — свободные радикалы арилиндандионов. Писаренко Л. М., Никулин В. И., Гагарина А. Б., Рогинский В. А., Эмануэль Н. М. «Докл. АН СССР», 1984, 279, № 3, 641—645

Методом ЭПР определены термодинамич. параметры (ΔH° , ΔS°) равновесий димер — свободные радикалы для 2,2-бис-2-(п-диметиламинофенил)индандиона-1,3, а также его 4-Cl- и 5-Cl-пр-ых. Получены ЭСП поглощения образующихся радикалов и определены коэф. экстинкции в максимумах поглощения. Независимо методом ЭСП определены энталпии равновесий ΔH° , к-рые находятся в согласии с данными, полученными методом ЭПР, что подтверждает их высокую точность. Отмечено, что введение атома хлора во фталоильный цикл увеличивает K_p , что связано с увеличением термодинамич. стабильности радикалов.

Автореферат

X. 1985, 19, N 8

1984

№ 8 Б3048. Взаимодействия ион-молекула растворителя в газовой фазе. Ион калия и диметилсульфоксид, диметилацетамид, диметилформамид и ацетон. Ion-solvent molecule interactions in the gas phase. The potassium ion and Me_2SO , DMA, DMF, and acetone. Suppег Ян, Кебарле Пол. «J. Amer. Chem. Soc.», 1984, 106, № 21, 6135—6139 (англ.)

С использованием импульсного масс-спектрометра высокого давления при различных т-рах изучено газофазное равновесие $\text{K}^+(L)_{n-1} + L \rightleftharpoons (\text{K}^+(L)_n)$, где L—ДМСО, N,N-диметилацетамид, N,N-диметилформамид и ацетон. По зависимости констант равновесия от т-ры определены и табулированы термодинамич. ф-ции равновесий при изменении n от 1 до 6. Полученные значения со-поставлены с лит. данными. Квантовомех. расчеты показали, что взаимодействие K^+ с ДМСО имеет электростатич. характер.

По резюме

X. 1985, 19, N 8

1984

8 Б3064. Сравнение различных методов для измерения давления сублимации органических веществ на примере тетрацианохинодиметана. Vergleich verschiedener Methoden zur Sublimationsdruckbestimmung organischer Substanzen am Beispiel von Tetracyanchinodimethan. Kersten F., Орргруппа Н. «Z. Phys. Chem.», 1984, 265, № 6, 1207—1212 (нем.; рез. англ.)

Показано, что измерения давл. сублимации тетрацианохинодиметана с использованием различных методов (статич., скорости сублимации, диффузионного переноса и эффузионного) не всегда приводят к одинаковым результатам. Предположено, что эффузионный метод дает большие систематич. ошибки, т. к. соотв. ошибки др. различных физ. методов и приборов весьма маловероятны. Усредненные результаты, исключая данные эффузионного метода, являются след.: давл. сублимации $\lg P/\text{Па} = 13,9 - 5550 \text{ K}/T$; энтальпия сублимации $\Delta H^0 = 106 \text{ кДж}/\text{моль}$; энтропия сублимации $\Delta S^0 = 170 \text{ Дж}/\text{моль}$; коэф. испарение $\alpha = 0,02$, принимая во внимание лит. данные $\alpha \leq 0,06$.

Резюме

X. 1985, 19, N 8.

1984

8 Б3017. Над-адиабатическая калориметрия (ОАС).
 Over-adiabatic calorimetry (OAC). Nakl Joseph.
 «Thermochim. acta», 1984, 81, 319—325 (англ.)

Предложен новый метод над-адиабатич. калориметрии для определения теплоты р-ции или скорости тепловыделения в случае медленной р-ции или слабоэкзотермич. процессов. Метод заключается в измерении подъема т-ры при нагревании электрич. током реакц. смеси с постоянной скоростью нагрева. При хим. р-ции скорость подъема т-ры $dT/d\tau = S = A(B + St - T) \exp(-C/T) + S$, где параметр A обобщает частотный фактор, теплоемкость системы и коэф. пропорциональности, B — конечная т-ра реакц. смеси после окончания р-ции в адиабатич. условиях, $C \propto E/R$, E — энергия активации, R — газовая постоянная. Указаны графич. и итерац. способы нахождения этих параметров для р-ции 1-го и иных порядков. Приведены опытные данные для р-ции 1-хлоро-4-нитробензола с SO_3 в р-ре H_2SO_4 в сосуде Дьюара. Для этой р-ции 2-го порядка $\Delta H = -44,7$ кДж/моль, максим. скорость р-ции наблюдалась через 1,2 ч после начала реакции.

Х, 1985, 19, № 8

Л. А. Резницкий

1984

11 Б3101. Термодинамическое прогнозирование в разработке процессов гидролиза полихлорпропенов. Забродина Т. И., Леванова С. В., Добровольцева Г. В., Рот Г. А. «Пробл. калометрии и хим. термодинам. Докл. на 10 Всес. конф., 12—14 июня. 1984. Т. 1. Ч. 2.» Черноголовка, 1984, 247—249

С целью прогнозирования вероятных направлений р-ций, протекающих при гидролизе хлорпр-ных пропиленов $\text{CX}_2=\text{CXCH}_2\text{Cl}$ (I) + $\text{H}_2\text{O} \rightleftharpoons \text{CX}_2=\text{CXCH}_2\text{OH}$ (II) + HCl (1) и $\text{I} + \text{II} \rightleftharpoons \text{O}(\text{CX}_2=\text{CXCH}_2)_2 + \text{HCl}$ (2), инкрементным методом рассчитаны для газ. и жидк. состояний ΔH° (обр.) и S° исходных соединений и продуктов их гидролиза — спиртов и эфиров. Вычислены Крави р-ции (1) и (2).

Р. Г. Сагитов

ж. 1985, № 11

1984

8 Б3029. Термохимия транс-ди-трет-бутилгипонитри-
та. Thermochemistry of trans-di-tert-butyl hyponitrite.
Chen H.-T. E., Mendenhall G. D. «J. Amer. Chem.
Soc.», 1984, 106, № 21, 6375—6378 (англ.)

Измерена теплота сгорания транс-ди-трет-бутилгипо-
нитрита трет-BuON=NOBu-трет (I). Эффузионным ме-
тодом в интервале 0—19° С определена энталпия испа-
рения I, равная $17,7 \pm 0,3$ ккал/моль. Вычисл. на основе
эксперим. данных значения $-\Delta H^\circ$ (обр.) тв. и газ. I
равны $59,0 \pm 2,9$ и $41,3 \pm 2,9$ ккал/моль. Давл. пара I
при 19° С равно 0,13 Торр. Указывается, что ΔH (обр.)
гипонитрита экспериментально определено впервые.
С использованием метода аддитивности для транс-
 $HON=NOH$ получено ΔH° (обр.) = 3,1 ккал/моль в хо-
рошем согласии с лит. расчетами методами МО. По ад-
дитивной схеме оценены энергии активации E_a гомоли-
тич. разл. нек-рых орг. транс-гипонитритов. Однако
расчетные данные не согласуются с эксперим., что свя-
зано с компенсирующим линейным соотношением меж-
ду E_a и $\lg A$ (A — частотный фактор) для гипонитри-
тов.

Р. Г. Сагитов

ДМУ, ДМУ;

Х, 1985, 19, N8

1985

10 Б1222. Отнесение низкочастотных колебаний в инфракрасных спектрах и спектрах комбинационного рассеяния (+)-борнилацетата, используя данные по родственным соединениям и дейтеропроизводным. A low frequency assignment for infrared and Raman spectra of (+)-bornyl acetate using related compounds and deuterated derivatives. Kim S. B., Hammaker R. M., Fateley W. G. «Spectrochim. acta», 1985, B40, № 10—12, 1295—1330 (англ.)

Проведено отнесение 21 фундаментального колебания (+)-борнилацетата (I), его 9-дейтеропроизводных и (—)-изоборнил-10,10,10- d_3 -ацетата в обл. 200—850 см⁻¹. Модельными соединениями для анализа являлись норборнан, неопентан, метилацетат, циклопентанол, (—)-изоборнилацетат, а также родственные соединения: эндо-норборнилацетат, 1-метил-эндо-норборнилацетат, апо-борнилацетат и ряд эндо и экзо-стереоизомерных спиртов на основе норборнана. В ИК-спектрах сильнее про-

ж. 1986, 19, N 10

являются колебания ацетатной группы, а в спектрах КР — колебания четвертичных атомов углерода. В спектрах I и родственных соединений частоты вал. кол. четвертичных атомов C-1 и C-7 лежат в обл. 580—679 и 600—670 см^{-1} соотв. частоты деф. кол. C-1 и C-7 — в обл. 220—260, 540—610 см^{-1} и 360—430, 500—540 см^{-1} соотв. Частоты симм. вал., деф. и крут. кол. кольца лежат в обл. 940—770, 830—700 и 340—310 см^{-1} соответственно.

И. А. Гарбузова

нутр

1985

9 Б1081. Изучение методом МО водородной связи в салицилальдегиде. Hydrogen bonding in salicylaldehyde: a molecular orbital study. George Philip, Bock Charles W., Trachtman Mendel. «J. Mol. Struct.», 1985, 133, Suppl.: «Theochem», 26, 11—24 (англ.)

Неэмпирическим методом ССП МО в базисе 6-31 ГФ с оптимизацией геометрии проведены расчеты плоской молекулы салицилальдегида, (I) с внутримолек. Н-связью и ее ротамера (II) с группой OH, повернутой на 180° вблизи связи C—O. Разность энергий I и II ΔE_t ($-11,9$ ккал/моль) включает энергию возмущения связей и валентных углов при переходе от II к I ($\Delta E_d = -2,2$ ккал/моль) и собственно энергию Н-связи ($\Delta E_b = -14,1$ ккал/моль). Сопоставление величин ΔE_t , ΔE_d и ΔE_b с соотв. лит. значениями для β -оксиакролеина ($-4,2; 0,9$ и $-5,1$ ккал/моль) свидетельствует о том, что бензольное кольцо в I оказывает существенное влияние на стабильность Н-связанной системы. Найдено, что изменение полных зарядов атомов при переходе от II к I обусловлено, в основном, π -вкладом,

Х. 1986, 19, № 9

а изменение заселенности перекрывания — σ-вкладом.
Э. Д. Герман

генд.

1985

} 9 Б1069. Расчет энергии связи для связей между металлами главных групп, водородом и углеродом.
 Чжан Lubinu, Oi Aihua. «Хуасюэ тунбао, Chemistry», 1985, № 8, 17—20 (кит.)

Предложена эмпирич. ф-ла для расчета энергий связей металл—Н и металл—С в металлогр. соединениях элементов главных групп: $E = t_i(\Delta S/n\Sigma S)E_i + t_c(H)/((a+b))E_c$, где t_i , t_c , E_i и E_c — те же величины, что и в ф-ле Сандерсона (см. Sanderson R. T. «Chemical Bonds and Bond Energy» N.-Y. «Academic Press», 1976) для оценки энергии связи; ΔS — разность электроотрицательностей по Сандерсону, ΣS — их сумма, n — коэф., равный 2,3 для связей Н—металл и 1,23 для связей С—металл, a и b поляризуемости атомов. При $\Delta S/n\Sigma S$ и $a+b=1$ предложенная ф-ла превращается в ф-лу Сандерсона для расчета энергий связи. Ф-ла использована для расчета 51 молекулы со связями металл—Н и металл—С. Вычисленные энергии связи согласуются с эксперим. в вероятных пределах ошибки их эксперим. определения для большинства из изученных соединений.

И. Н. Сенченя

X. 1986, 19, № 9

1985

10 Б1111. Молекулярная структура и псевдовращательное движение циклопентилсилана по данным газовой электронографии. The molecular structure and pseudorotational motion of cyclopentylsilane as determined by electron diffraction. Shen Q., Dakkouri M. «J. Mol. Struct.», 1985, 131, № 3—4, 327—332 (англ.)

Проведено электронографич. исследование при -10°C циклопентилсилана. Наиболее стабильный конформер имеет форму конверта (симметрия C_s) с силильной группой в экваториальном положении. Энергия формы с аксиальной силильной группой на 750 кал/моль выше. Основные молек. параметры: $r(\text{C}-\text{C})$ 1,548 (2) Å, q (складчатость цикла) 0,409 (2) Å, $r(\text{Si}-\text{H})$ 1,490 (14) Å, $r(\text{Si}-\text{C})$ 1,874 (4) Å, $\angle \text{SiCC}$ 113,1 (6°), $\angle \text{CCH}$ 110,2 (8°).

Из резюме

Х. 1986, 19, N 10

1985

10 Б1143 Деп. Определение угла поворота тиенильной группы в молекулах 2-фенил- и 2-пиридилтиофена. Даллакян П. Б., Ше Ф. М. «Материалы Конф. мол. ученых хим. фак. МГУ, Москва, 25—28 янв. 1985. Ч. 2», М., 1985, 279—282, ил. Библиогр. 6 назв. Рус. (Рукопись деп. в ВИНИТИ 5.12.85, № 8374-В)

Методом хроматоструктурного анализа определен угол поворота тиенильной группы в молекулах 2-фенил- и 2-пиридилтиофена. Модели молекул строили на основе геометрич. параметров бензола, пиридина и тиофена. Использованы эмпирич. атом-атомные Пт С (аром)...С (графит), Н...С (графит), S...С (графит) и N...С (графит). Угол поворота найден равным $30 \pm 3^\circ$. Варьирование длины связи между кольцами в диапазоне 0,147—0,150 нм практические не влияет на этот результат.

Автореферат

Х. 1986, 19, № 10

1985

10 Б1130. Повторное исследование формальдегид-анилиновой конденсации. Сообщение 4. Ультрафиолетовые фотоэлектронные и электронные трансмиссионные спектры и полуэмпирическое теоретическое изучение N-метиленанилина и его симметричных диметилциклозамещенных гомологов. Reinvestigation of the formaldehyde-aniline condensation. Part 4. Ultraviolet photoelectron and electron transmission spectra of N-methyleneaniline and its symmetric dimethyl ring-substituted homologues and semiempirical theoretical evaluations. Distefano Giuseppe, Giumanini Angelo G., Mодelli Alberto, Poggi Gabriella. «J. Chem. Soc. Perkin Trans.», 1985, PT 2, № 10, 1623—1627 (англ.)

Измерены фотоэлектронные спектры (ФС) и электронные трансмиссионные спектры (ЭТС) 1,3,5-трифенилгексагидротриазина (I), 2,2',2'',6,6',6''-гексаметил-I (II) и 3,3',3'',5,5',5''-гексаметил-I (III). Методом МПДП с

Х. 1986, 19, № 10

варьированием всех независимых степеней свободы рассчитаны N-метиленанилини (IV) и его циклич. димер 1,3-дифенилдиазетин (V). Анализ ФС и ЭТС показывает, что пары I—III представляют собой, главным образом, молекулы IV, V и соотв., их замещенных. Сродство к электрону VI (эВ) —0,25, —1,11, —1,85, —4,6. Пт ионизации VI (эВ): 8,73; 9,38; 10,30 и 11,6. Сопоставление вычисленных орбитальных энергий различных конформаций IV с эксперим. Пт ионизации показывает, что в газовой фазе IV существует в почти копланарной конформации, характеризующейся сильным $\pi(\text{Ph})-\pi(\text{NC})$ -взаимодействием.

В. И. Фаустов



1985

10 Б1128. Системы с двойной связью атома фосфора(III), карбеновые и алкеновые аналоги. Электронное строение имино- и метиленфосфанов. Phosphorus(III) double bond systems, carbene and alkene analogues. The electronic structure of imino- and methylene-phosphanes. Niocke E., Gudat D., Schoeller W. W., Rademacher P. «J. Chem. Soc. Chem. Commun.», 1985, № 15, 1050—1051 (англ.)

Исследована корреляция между двумя первыми Пт ионизации иминофосфанов $R^1P=NR^2$ [R^1, R^2 =трет.-Вц, $SiMe_3$, $N(SiMe_3)_2$] и энергиями двух нижних электронных переходов. Разности двух первых Пт ионизации хорошо коррелируют с разностями энергий переходов. Аналогичное сопоставление проведено для метиленфосфанов. Сделан вывод, что при варьировании заместителей карбеновый характер иминофосфанов может меняться на алкеновый.

В. Фаустов

Х. 1986, 19, № 10

1983

Б1213 К. Атлас спектров ароматических и гетероциклических соединений. Вып. 27. ИК-спектры и спектры КР нитроксильных радикалов ряда 3-имидаолина, их диамагнитных предшественников и аналогов, содержащих D и ^{15}N . Ред. Коптюг В. А. Новосибирск: Ин-т орг. химии, 1983. 192 с., ил.

д. 1986, 19, № 13

1985

9 E758. Полиморфизм и старение терефталевой кислоты. Polymorphism and aging in terephthalic acid. Saska Michael, Myerson Allan. «Cryst. Res. and Technol.», 1985, 20, № 2, 201—208 (англ.; рез. нем.)

Неограниченные частицы терефталевой кислоты (ТФК) размером 20—50 мкм, помещенные в ее насыщенный раствор, после выдержки в течение нескольких часов при t-ре , превышающей 150°C , превращаются в хорошо ограниченные кристаллы игольчатой формы, часто со следами двойникования. Рентгенографич. методом исследования возможная роль полиморфизма в процессе старения ТФК. Вопреки ожиданиям оказалось, что на всех стадиях процесса наблюдается лишь одна полиморфная модификация ТФК. С использованием ранее применяемых для этого класса органических кислот потенциалов межатомных взаимодействий рассчитаны энергии двух предполагаемых полиморфных модификаций ТФК I и II.

полиморфизм

φ 1985, 18, №.

которые составляют 41,02 и 39,99 ккал/моль, соответственно. Расчетная теплота превращения 1,03 ккал/моль оказывается достаточно малой по сравнению с величиной изменения энтропии, что позволяет предполагать возможность реализации полиморфного превращения I-II при некоторых специальных внешних условиях, хотя указанное превращение и не имеет места в обычном процессе старения ТФК.

А. Отк



Р-Н-Н (автор. соч.).

1985

?

20 Б3051. Исследование соединения включения [состава] 4 : 1, [образуемого] дезоксихолевой кислотой и (E)-п-диметиламиноазобензолом, путем измерений давления пара. Study of the 4 : 1 inclusion compound between deoxycholic acid and (E)-p-dimethylaminoazobenzene by vapour pressure measurements. Campapelli A. R., Ferro D., Pavel N. V. «Thermochim. acta», 1985, 87, 231—238 (англ.)

Соединение включения (СВ), образующееся при внедрении молекул (E)-п-диметиламиноазобензола (I) в крист. решетку дезоксихолевой к-ты (II) было получено р-рением I и II в сп. с послед. медленным испарением р-рителя. СВ имело состав II : I = 4 : 1. СВ — призматич. оранж. кристаллы, т. пл. 479—480 К, параметры элементарной ячейки: $a = 25,676$, $b = 13,731$, $c = 7,160$ Å, ρ (эксп.) 1,17, ρ (выч.) 1,18 г/см³. Торсионным эффильтационным методом определено давл. пара над тв. I и СВ. Данные для I описываются ур-нием $\lg P(\text{кПа}) = 15,05 \pm 0,18 - (6887 \pm 500)/T$, из к-рого для 381 К найдено $\Delta H^\circ(\text{исп.}) = 132 \pm 8$ кДж/моль. Давл. пара I над СВ лежит на пределе чувствительности метода. По грубой оценке при 435 К $\Delta H^\circ(\text{исп.}) = 138$ кДж/моль. Результаты свидетельствуют о силь-

Х. 1985, 19, № 20

ном взаимодействии I и II в соединении включения.

Р. Г. Сагитов

ж/м
7;

Ph¹⁵NO₂⁻

1987

24 Б3030. Влияние изотопного замещения на электронное средство нитробензола в газовой и жидкой фазах. Effect of isotopic substitution upon the gas phase and solution electron affinities of nitrobenzene. Stevenson Gerald R., Reiter Richard C., Espe Matthew F., Bartmess John E. «J. Amer. Chem. Soc.», 1987, 109, № 13, 3847—3849 (англ.)

Методами ионного циклотронного резонанса (в газовой фазе) и ЭПР (в р-ре) измерена константа равновесия K_p р-ции электронного переноса (ЭП) $\text{Ph}^{14}\text{NO}_2^- + \text{Ph}^{15}\text{NO}_2 \rightleftharpoons \text{Ph}^{14}\text{NO}_2 + \text{Ph}^{15}\text{NO}_2^-$. Для ЭП в газовой фазе $K_p \sim 1$ ($T = 305\text{ K}$). Для ЭП в жидк. NH_3 ($T = 208\text{ K}$) $K_p = 2,1$, если противоион K^+ и $K_p = 0,4 \text{ Na}^+$. Очень слабое влияние изотопного замещения азота на ΔG_0 р-ции в газовой фазе объяснено на основе расчетов PhNO_2 и PhNO_2^- квантовохимич. методами МПДП и АМ1, эффектом удлинения связи N—O и укорочения C—N при переходе от PhNO_2 к PhNO_2^- . В случае р-ции ЭП в р-ре влияние катиона на K_p объяснено эффектом образования ионных ассоциатов.

Э. Д. Герман

27;

X. 1987, 19, N 24

On a review. (M. 27049) 1987
Contents

Rebarle P., Chowdhury;

Chem. Rev., 1987, 87,
Ae; N3, 513 - 534.

Electron Affinities and
Electron - Transfer Reactions.

1984

14 Б3046. Химические термодинамические свойства молекул, претерпевающих инверсию. II. Метиланилины. Chemical-thermodynamic properties of molecules that undergo inversion. II. The methylanilines. Draeger J. A. «J. Chem. Thermodyn.», 1984, 16, № 11, 1067—1073 (англ.)

На основе лит. данных в интервале 0—1500 К вычислены хим. термодинамич. функции для изомерных 4-, 3- и 2-метиланилинов (I—III соотв.) в состоянии идеального газа при давл. 101,325 кПа. Расчет колебательных вкладов базировался на анализе норм. мод. Предполагалось, что изолированные метильные группы имеют пренебрежимо малые барьеры внутр. вращения и что барьер, ограничивающий внутр. вращение аминной группы, равен барьеру в анилине. Наблюдавшиеся инверсионные переходы использованы для расчета приведенных потенциальных функций, из к-рых были выведены функции распределения для инверсии. Представлены данные, использовавшиеся в расчетах. При

т. ф. 2.

Х. 1985, 19, N 14

0 К для I—III ΔH° (обр.) = 68,9, 88,5 и 81,2 кДж/моль соотв. Величины C_p°/R , S°/R , $[H^\circ(T) - H^\circ(0)]/RT$ ($R = 8,31441$ Дж/К·моль), ΔH° (обр.) и ΔC° (обр.) при 298,15, 900 и 1500 К соотв. равны: I 15,73, 42,38, 9,13₉, 41,8 кДж/моль и 152,4 кДж/моль, 34,14, 69,93, 20,84, 18,7 и 396,5, 40,74, 89,16, 27,67, 18,9 и 648,9, II 15,64, 42,78, 9,02₃, 61,1 и 170,8, 34,09, 70,24, 20,75, 37,7 и 413,1, 40,72, 89,45, 27,61; 37,7 и 664,0, III 16,23, 42,72, 9,42₂, 54,8 и 164,6, 34,25, 70,57, 21,09, 32,9 и 405,9, 40,78, 89,83, 27,85, 33,5 и 655,0. Сообщ. I см. РЖХим, 1983, 19Б892.

Р. Г. Сагитов

специ
табу

1988

22 Б3061. Давление паров и энталпии испарения амилформиата. Догонина М. Д., Петров В. М., Трейбшо Е. И., Васильев И. А. «12 Всес. конф. по хим. термодинам. и калориметрии. Тез. стенд. докл., Горький, 13—15 сент., 1988. Ч. 1». Горький, 1988, 89

В интервале давл. 2—103 кПа эбулиометрич. методом для давл. пара амилформиата (I) получено $\lg P(\text{Па}) = 35,79565 - 3493,107/T - 8,50186 \lg T$. Калориметрически измерены энталпии испарения I в циркуляц. установке. При 101,00 кПа и 405,15 К получено $\Delta_{\text{пар}}H = 36,01 \text{ кДж/моль}$.

А. С. Гузей

$P, \Delta H$:

X. 1988, N 22

1988

18 Б4128 Деп. Соотношения для расчета констант равновесия реакций дегидрирования нормальных парафинов состава C_6-C_9 вmonoолефины. Елисеев Н. А.; ВМТУ. Калуж. фил. Калуга, 188. 10 с. Библиогр. 4 назв. Рус. (Рукопись деп. в ОНИИТЭХИМ г. Черкассы. 12.05.88, № 475—хп88)

Вычислены изменения термодинамич. параметров (разности энталпий, энтропий и теплосмкостей) р-ций дегидрирования н-парафинов состава C_6-C_9 в изомерные алканы. Показано, что эти изменения сравнительно невелики, поэтому каждую аналогичную р-цию можно охарактеризовать средними значениями термодинамич. параметров. Это дает возможность вывести соотношение, позволяющее вычислять константы равновесия р-ций образования различных изомерных monoолефинов — алканов-1, а также алканов-2, 3 и т. д. в цис-транс-формах в широком интервале т-р. Представлены численные значения констант в предложенном ур-нии.

(δH_f , S, C_p)

X. 1988, 19, N 18

Между константами равновесия, вычисленными с помощью предложенного соотношения и рассчитанными др. способами, наблюдается удовлетворит. согласие.
Автореферат

влеc
с ги

Onagraceae (OM. 30539) 1988

leucocarpa

Curtiss d.A.; Blander M.,

(Aguirre-
Muñoz) Chem. Rev., 1988, 88, N6,
827-841.

Thermodynamic Properties
of gas - phase ● Hydrogen-
Bonded Complexes.

1988

1 Б3041. Термическое разложение хлорсодержащего циклотиотриазила / Спицын В. И., Колли И. Д., Орлова Э. М., Дьяченко О. Г. // Ж. неорган. химии.—1988.— 33, № 9.— С. 2225—2227.— Рус.

Методами ДТА, РФА и ИК-спектроскопии изучено термич. разложение хлорсодержащего циклотиотриазила S_4N_3Cl (I) при нагревании до $600^\circ C$ в атмосфере азота. Показано, что процесс разложения I сопровождается значительным экзотермич. эффектом в обл. т-р $140—180^\circ C$ и протекает с разрывом связи S—S дисульфидной группы. Изменение энтальпии наблюдаемого теплового эффекта по данным ДСК равно $\Delta H = -196,5 \pm 0,1$ кДж/моль. Масс-спектрометрич. исследование подтверждает предложенную схему термич. разложения I.

Резюме

ж. 1989, № 1

1988

24 Б3221. Избыточные молярные объемы и энталпии системы 2-бутоксиэтанол — вода при 25° С. Excess molar volumes and enthalpies of the 2-butoxyethanol + water system at 25° C. Davis Michael I., Molina M. Concepcion, Douheret Gerard. «Thermochim. acta», 1988, 131, 153—170 (англ.)

При 25° С из данных по плотности и калориметрическим измерениям определены избыточные объемы (V^E) и энталпии (H^E) смесей 2-бутоксиэтанол (I) — вода во всем интервале составов. Для изученных смесей V^E и H^E отрицательны, причем минимумы V^E и H^E сдвинуты в обл. $x < 0,5$, где x — мол. доля I. Экспериментальные данные обработаны на основе четырехсегментной модели водно-органических смесей. Обсуждены различные модификации модели. Модель включает 4 сегмента (области составов); область составов, богатая органическим растворителем; микрогетерогенная область; промежуточная область (второй сегмент); область составов, богатая водой.

А. С. Соловкин

Хемик

Х. 1988, № 24

1988
Орлов А.Д., Лебедев А.А.,

Термодинам. св-ва омагни-
ческих свободных разделений

XII Всесоюзный Конгрес-
сий по химической тепло-
физике в
Конгресс-центре. 84-85-

Челябинской обсерв.

Горки, стро. 84-85, 1988г.

1987

17 Б3037. Кажущиеся мольные теплоемкости ацетата натрия в метаноле. Федяйнов Н. В., Цветков Н. И., Дракин С. И., Азарова Е. Г. «Тр. Моск. хим.-технол. ин-т», 1987, № 148, 34—39.

В изотермич. калориметре измерены уд. теплоемкости C_p метанольных р-ров ацетата натрия (I), рассчитаны кажущиеся теплоемкости Φ_c I в метаноле. В обл. малых конц-ий Φ_c определены из т-рной зависимости энталпии р-рения. Экстраполяцией к бесконечному разбавлению найдены значения Φ_c° .

Резюме

Г оз

Х. 1988, 19, N 17

1987

Zhang Lianzhong,
Spencer W. F. et al.

P, HV; Хуаньцзине рекреэ сюздао,
Acta sci. circumstantiae,
1987, N 4, 479-484.
(см.)

CH₃NOS

CH₃-S-N=O
метил тиосинтрит

спектр

1983
I) J22 Б247. Предложение о пересмотре конформации метилтионитрита на основании его спектров и предварительных неэмпирических расчетов. A suggested revised conformation of methylthionitrite as seen by its spectra and preliminary ab initio calculations. Bak B., Christiansen N. A., Johansen H. «J. Mol. Struct.», 1983, 100, 453—458 (англ.)

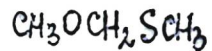
В приближении фиксированной геометрии выполнен неэмпирич. расчет дипольных моментов и потенциальных кривых внутреннего вращения метильной группы для син- и анти-изомеров и внутреннего вращения вокруг связи S—N для син-изомера молекулы метилтионитрита, CH₃SNO (I). Путем повторного анализа лит. данных по спектрам ЯМР, ИК-спектрам и спектрам КР и на основании результатов проведенного расчета показано, что молекула I в газовой фазе существует как син-изомер. Подчеркнуто, что син-изомер более стабилен, чем анти-изомер (1—2 ккал/моль), и что вращение метильной группы в анти-изомере гораздо более затруднено по сравнению с син-изомером. Отмечена аналогия рассмотренных характеристик молекулы I с соотв-щими эксперим. значениями для метилнитрита CH₃ONO.

Ю. Н. Панченко

*X. 1983, 19,
N 22*

C₃H₈OS

1984



метокси(метилтио)метан

16 Б1071. Теоретическое исследование стереохимии метокси(метилтио)метана как модели тиоацетального сегмента в тиосахарах. Theoretical study of stereochemistry of methoxy(methylthio)methane as a model of thioacetal segment in thiosaccharides. Tvaroška Igor. «Collect. Czech. Chem. Commun.», 1984, 49, № 2, 345—354 (англ.)

Методами ВКВЛО и МПДП исследована структура и внутр. вращение молекулы CH₃OCH₂CH₃. Методом ВКВЛО рассчитаны конформаци. карты вращения относит. связей C—O и C—S при длинах связей C₁—O₂ 0,143 нм, O₂—C₃ 0,141 нм, C₃—S₄ и S₄—C₅ 0,180 нм и C—H 0,110 нм, вал. углы COC 112, OCS 112, CSC 99,6° и HCO и HCS 109,46°. Для антиперiplанарной (АП — вращение относит. C—O-связи) и синклинальной (СК — вращение относит. C—S-связи) конф.ций молекулы получен порядок стабильностей (СК, СК) > (АП, СК) > > (СК, АП) > (АП, —СК) > (АП, АП). Методом МПДП с градиентной оптимизацией проведен расчет геомет-

X. 1984, 19, N 16

рич. структур, соотв. минимумам из ВКВЛО расчета. Порядок следования изомеров сохранился, а их соотношение равно 92 : 5 : 2 : 1 : 0. Приведены энергии, геометрич. параметры, заряды на атомах, ПИ и дипольные моменты конформеров, к-рые возрастают при уменьшении стабильности конформеров. Расчет показывает, что при учете р-рителя с увеличением его полярности увеличивается содержание конформеров с большими величинами дипольных моментов. Так в ацетонитриле и воде соотношение конформеров равно 85 : 8 : 3 : 4 : 0 и 63 : 14 : 7 : 16 : 0 соответственно.

В. Болотин



CN₂SH₄

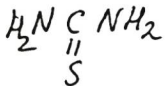
1983

| 13 Б755. Термохимическое исследование аддуктов тетрахлоридов подгруппы титана с тиомочевиной. Ко-
нунова Ц. Б., Кудрицкая С. А. «Ж. неорган. химии», 1983, 28, № 3, 788—790

Определены теплоты пр-рения комплексов титана, циркония и гафния с тиомочевиной состава $MCl_4 \cdot ThiO$ и

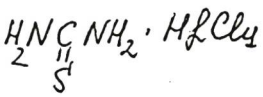
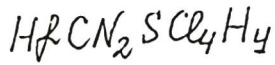
$MCl_4 \cdot 2ThiO$ в 4 н. соляной к-те. На основании цикла Габера рассчитаны теплоты, выделяющиеся при присоединении n молей газ. лиганда при 298 К к одному молю тетрахлорида металла, а также теплоты присоединения 2-й молекулы лиганда к комплексу состава 1 : 1. Показано, что теплота присоединения 2-й молекулы в комплексах состава 1 : 2 невелика и составляет 40—80 кДж/моль, т. е. близка к значениям энергий Н-связей.

Резюме

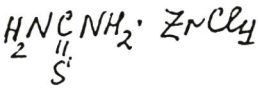
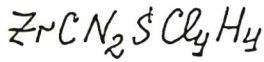


тиомочевина

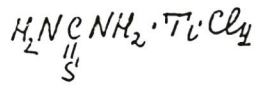
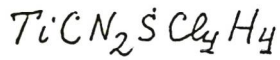
д. 1983, 19, № 13



тимочевина
аддукт с тетрахлоридом
гафния (1:1)

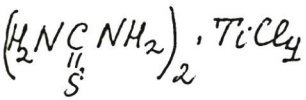
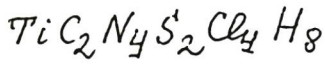


тиамочевина
аддукт с тетрахлоридом
циркония (1:1)



тиосорбика

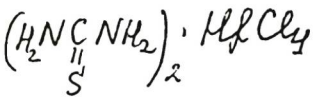
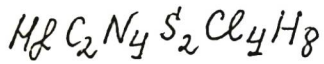
аддукт с тетрахлоридом
титана (1:1)



тиоцианат

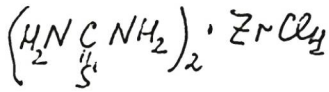
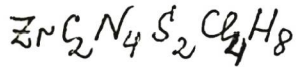
аддукт с тетрахлоридом

тионата (2:1)

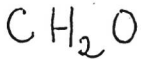


тиомочевина

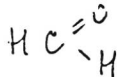
аддукт с Гейграхлоридом
загрязнения (2:1)



тиомочевина
аддукт с тетрахлоридом
циркония (2:1)



1981



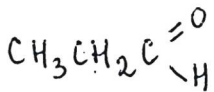
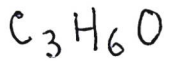
формальдегид

раней
барьер
инверсии

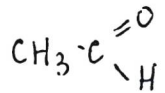
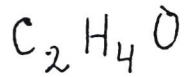
9 Б74. Конформации триплетных состояний карбонильных соединений: формальдегида, ацетальдегида, пропиональдегида и ацетона. Peterson Michael R., De Magé George R., Csizmadia Imre G., Strausz Otto P. Conformations of triplet carbonyl compounds: formaldehyde, acetaldehyde, propionaldehyde and acetone. «J. Mol. Struct.», 1981, 86, № 1—2, («Theochem», 1981, 3, № 1—2), 131—147 (англ.)

Неэмпирическим методом ССП МО в базисе ОСТ-З ГФ исследованы конформации триплетных состояний ацетона, пропиональдегида, формальдегида и ацетальдегида. Найденные барьеры инверсии равны 2,5; 2,3; 2,0 и 2,3 ккал/моль соответственно. В. Болотин

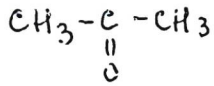
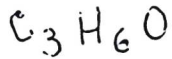
Х. 1982, 19, № 9.



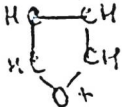
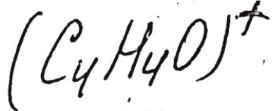
пропионильный



äusserung



acetyl



1982

4 Б878. Изомерные и таутомерные ионы $[\text{C}_4\text{H}_4\text{O}]^+$; их термохимия и характеристики индуцированной столкновениями фрагментации. Isomeric and tautomeric $[\text{C}_4\text{H}_4\text{O}]^+$ ions; their thermochemistry and collisionally induced fragmentation characteristics. Burgers Peter C., Holmes John L., Lossing F. P., Mommers Alexander A., Povel Frank R., Teglow Johan K. «Can. J. Chem.», 1982, 60, № 17, 2246—2255 (англ.)

Определены масс-спектры при активации соударением (МАС) ионов $(\text{C}_4\text{H}_4\text{O})^+$, образующихся из различных предшественников, и энергии ионизации и появления. На основе эксперим. данных вычислены энталпии образования измерных ионов $(\text{C}_4\text{H}_4\text{O})^+$. Значения

ΔH (обр.) ионов составили: $\text{C}_4\text{H}_4\text{O}$ -фуран 197 ккал/моль, $\text{HC}\equiv\text{COCH}=\text{CH}_2$ 251, $\text{CH}_2=\text{CHCH}=\text{C=O}$

194, $\overset{\text{CH}_2\text{CH}_2\text{C}}{\underset{\text{MeC}}{\text{CH}}}=\text{C=O}$ 198 ± 2 , $\text{MeCH}=\text{C=C=O}$ 202,

$\text{MeC}\equiv\text{CHC=O}$ 240, $\text{MeCOC}\equiv\text{CH}$ 244, $\text{HC}\equiv\text{CC(OH)}$ =

X. 1983, 19, N 4

ρ

$=\text{CH}_2$ 217, $\text{H}_2\text{C}=\text{C}=\text{CHCHO}$ 236, $\text{MeC}\equiv\text{CCHO}$ 246, $\text{HC}\equiv\text{CCH}_2\text{CHO}$ 247, $\text{HC}\equiv\text{CCH}=\text{CH(OH)}$ 222, $\text{H}_2\text{C}=\text{C}=\text{C}=\text{CH(OH)}$ 222. Обсуждены вопросы, касающиеся термодинамич. устойчивости кето-енольных тautomerов и легкости взаимных превращений нек-рых ионов. Структура большинства ионов установлена лишь по МАС. Однако, как подчеркивается, иногда структурное отнесение на основе одного МАС, без дополнительной информации, затруднительно. Р. Г. Сагитов

C₄H₄O⁺

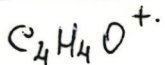
1982

CH₂=C=C=CHOM
катион-радикал
1,2,3-бутилиминал

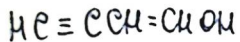
Burgers P.L., Holmes J.L.,
Lossing F.P., et al

Can. J. Chem., 1982, 60,
N 17, 2246-2255

44f



1982



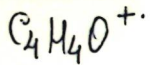
kaïkosu-paguraw

1-dihydro-3-methyl

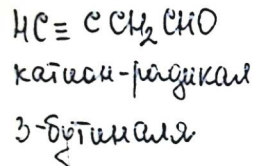
Burgers P.C., Holmes J. L.,
Lossing F.P., et al

Can. J. Chem., 1982, 60,
N17, 2246-2255

1Hf



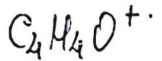
1982



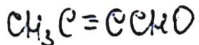
Burgers P.C., Holmes J.L.,
Lossing F.P., et al

Can. J. Chem., 1982, 60, 117,
2246-2255

δH_f



1982



Канинг-радикал
2-бутиновый

Burgers P.C., Holmes J.H.,
Lossing F.P., et al.

Can. J. Chem., 1982, 60,
n17, 2246-2255

SHF

$C_4H_4O^+$

1982

$CH_2=C=CH CHO$

катион-радикаль
формальдегида
(2,3-дигидроизопентан)

Burgers P.C., Holmes J.L.,
Lossing R.P., et al.

Can. J. Chem., 1982, 60,
N17, 2246-2255

DHF

1982

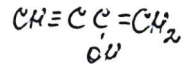
Burgess D. C., Holmes J. L.,
Lossing F. P., et al

Can. J. Chem., 1982, 60,
N17, 2246 - 2255

DHF

$C_4H_4O^+$

1982

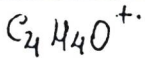


карбон-карбон
1-бутен-3-ион-2,

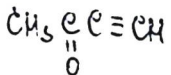
Burgers P.C., Holmes J.L.,
Lossing F.P., et al.

Can. J. Chem. 1982, 60, 117,
2246-2255

14f



1982

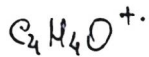


кетон-пирокал
ирии ацилкетона

Burgers P. C., Holmes J.L.;
Lossing F.P., et al

Can. J. Chem., 1982, 60,
N17, 2246-2255

DHF



1982

$\text{CH}_3 \overset{\Delta=0}{\text{C}}$
кетон-пирокал
 $\lambda = 2222.2 = 2$ -оксидипиранона

Burgers P.C., Holmes
J.L., Lossing F.P., et al

ΔH_f

Can. J. Chem., 1982, 60,
N17, 2246-2255

$C_4H_4O^+$

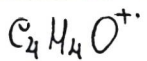
1982

$CH_3CH=CH=CH_2$
карици-пагиекан
этимоджекен

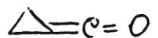
Burgers P.C., Holmes J.L.,
Lossing F.P., et al

Can. J. Chem., 1982, 60,
N17, 2246-2255

dH_f



1982



капсул-наукам
зекеңдіккөмкемешек

Burgers P. C., Holmes J. L.,
Lossing F. P., et al

Can. J. Chem., 1982, 60,
N17, 2246-2255

SHf



$C_4H_4O^{+}$ - катион-радикал

1982

$CH_2=CH-CH=O$ - катион-радикал
катион-радикал
бензилкетона

Burgers P.C., Holmes J.L.,
Lossing F.P., et al

Can. J. Chem., 1982, 60,
N^o 7, 2246-2255

SHF

$C_4H_4O^+$ -канион-радикал

1982

$HC\equiv COCH=CH_2$ - канион-радикал

также виноват в этом

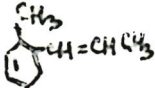
Burgess P.C., Holmes J.L.,
Lossing F.P., et al

Can. J. Chem., 1982, 60, N₁₂,

2246-2255

1H4

1979

 $C_{10}H_{16}$ 

1-метил-1-пропен-5-циклогексен

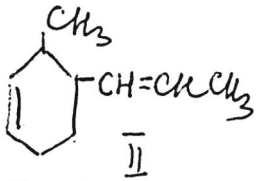
ΔG_f , K_p

+

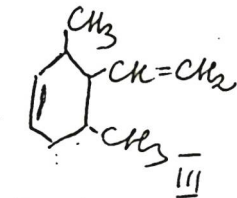
X. 1980 N 84

✓ 24 Б828. Термодинамический анализ равновесных превращений пиперилена. Андрусев М. М. «Тр. Моск. ин-т инж. ж.-д. трансп.», 1979, № 652, 125—129. Рассчитаны значения ΔG° (обр., 298) димеров транс-пиперилена (I), составившие: 1-метил-2-пропенилциклогексен-5 (II) 219,44 кДж/моль, 1-метил-3-пропенилциклогексен-5 221,32, 1,2-диметил-3-этинилциклогексен-5 227,61, 1,3-диметил-2-этенилциклогексен-5 (III) 229,00, 1,2-диметилциклооктадиен-3,7 285,42, 1,5-диметилциклооктадиен-3,7 280,64, 4-метилнонатриен-2,5,7 256,42 и 4-метилнонатриен-3,5,7 234,53. Из этих данных определены величины ΔG и K_p димеризации I и изомеризации олигомеров. Установлено, что равновесие мономер/димер сильно смещено вправо. Наиболее вероятно получение шестичленных циклов (наибольший выход II, наименьший — III), менее вероятно образование линейных димеров и олигомеров с восьмичленным циклом. Определены относительные содержания олигомеров в равновесной смеси.

А. С. Гузей



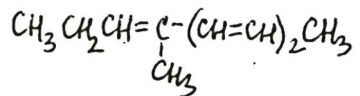
$\text{C}_{10}\text{H}_{16}$



$\text{C}_{10}\text{H}_{16}$

C₁₀H₁₆

1979



4-метил-3,5,7-
ногаатриен

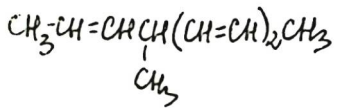
16f, Kp

Андреев Н. Н.

Тр. Моск. ин-т. хим.
и.з транспорта, 1979,
N 652, 125-129

C₁₀H₁₆

1979



4-метил-2,5,7-окта-
триене

164, Kp

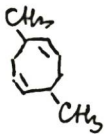
Андрусев Н.Н.

Тр. Искр. УГ-Т. ИИМ.

н.д. Трансн. 1979, 1652,
125-129

C₁₀H₁₆

1979



1,5-диметил-
3,7-циклоокта-
нене

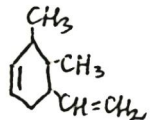
16°f, кр

Андрусев Н.Н.

Тр. Моск. ин-т хим.

н.з. Транск., 1979, №52,
125-129

C₁₀H₁₆



1,2-диметил-
3-этил-
5-циклогексен

1 g, Kp

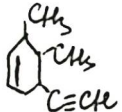
1979

Андрусев Н.Н.

Тр. Моск. Ун-т инж.
и. г. Транспорта, 1979,
N 652, 125-129

C₁₀H₁₄

1979



1,2-диметил-
3-этилен-
5-циклогексен

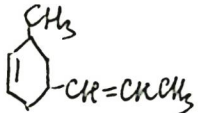
16f, kp

Андрусев Н.Н.

Тр. Моск. ин-т инж.
и г. транспорта, 1979,
N 652, 125-129

C₁₀H₁₆

1979



1-метил-3-
тропенил-5-
циклогексен

164, Кр

Андрусев Н. Н.

Тр. Моск. Ун-та
и. г. Транспорта, 1979,
N 652, 125-129

1981

 $C_{14}H_{30}$ $(CH_3)(CH_2)_{12}CH_3$

тетрадекан

 $T_m, \Delta H_m$

) 5 Б914. Влияние примесей на температуру и теплоту плавления материалов для аккумулирования тепла за счет теплоты фазового перехода. Sohns J., Seifert B., Nahne E. The effect of impurities on the melting temperature and the heat of fusion of latent heat storage materials. «Int. J. Thermophys.», 1981, 2, № 1, 71—87 (англ.)

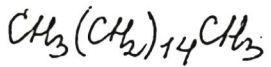
Выбор материалов для аккумулирования тепла основан на данных для чистых в-в. Техн. в-ва стоят в 10—100 раз дешевле чистых; однако данные по их термич. св-вам в лит. отсутствуют. Для 7 в-в (тетрадекан, гексадекан, октадекан, эйкосан, лауриновая, пальмитиновая и стеариновая к-ты) измерены т-ры плавления, теплоты плавления и теплоемкости тв. и жидк. фаз в окрестности т. пл. Изучены образцы с разной чистотой: чистые, чистые для синтеза, технич. Результаты табулированы. В зависимости от наличия примесей различия в т. пл. достигают 4,5 К, в теплоте плавления 11,4%, в теплоемкости 27%. Сделан вывод о возможности использования техн. в-в для теплоаккумулирующих устройств, т. к. их характеристики, а также смесей парафинов поддаются учету.

А. С. Гузей

Х. 1982, 19 N5

C₁₆H₃₄

1981



T_m, ΔH_m

Lohrs J., Seifert B.,
Hahne E.

Int. J. Thermophys., 1981,
2, vi, H-87

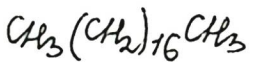
декадекан

C₁₈H₃₈

1981

Sohrs J., Seifert B.,
Hahne E.

Int. J. Thermophys., 1981,
2, N 1, H-87



T_m, ΔH_m

октадекан

$C_{20}H_{42}$

1981

$CH_3(CH_2)_{18}CH_3$

T_m, ΔH_m

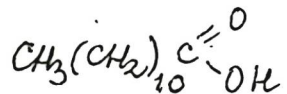
дикозан

Sohns J., Seifert B.,
Hahne E.

Int. J. Thermophys.,
1981, 2, n1, H-87

C₁₂H₂₄O₂

1981



Tn, SHm

науриловая кислота

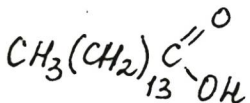
Sohns J., Seifert B.,
Hahne E.

Int. J. Thermophys.,
1981, 2, N1, H-87

$C_{15}H_{30}O_2$

1981

Sohns J., Seifert B.,
Hahne E.



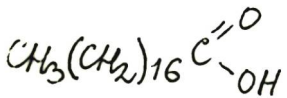
Tm, σ Hm

Int. J. Thermophys.,
1981, 2, N1, 71-87

насыщенные
кислоты

C₁₈H₃₆O₂

1981



Tm, 1Hm

Sohns J., Seifert B.,
Hahne E.

Int. J. Thermophys.,
1981, 2, N1, H-87

стearиновая кислота

C₂NH₅

1982

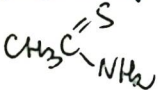
10 Б757. Термодинамика серусодержащих соединений. III. Термохимическое исследование тиоацетамида и тиобензамида. Sabbah Raphaël, Gomez Luis Alfonso Torres. Thermodynamique de substances soufrees. III. Etude thermochimique de la thioacetamide et de la thiobenzamide. «Thermochim. acta», 1982, 52, № 1—3, 285—295 (фр.; рез. англ.)

При 298,15 К в калориметре с вращающейся бомбой определены энталпии сгорания крист. тиоацетамида (I) и тиобензамида (II). Вычисл. из эксперим. данных величины ΔH° (обр.) крист. I и II при 298,15 К равны $-73,01 \pm 0,43$ и $33,8 \pm 1,1$ кДж/моль соотв. В калориметре Тиана—Кальве с эффузионной ячейкой определены при 298,15 К ΔH° (субл.): I $82,80 \pm 0,25$, II $97,20 \pm 0,60$ кДж/моль.

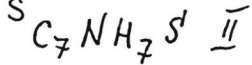
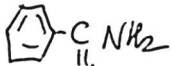
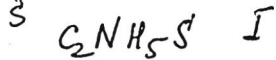
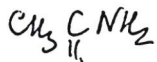
Р. Г. Сагитов

$\Delta H_f, \Delta H_g$

тиоацетамид



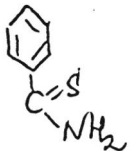
X, 1982, 19, N 10.



~~C₇NH₇~~

1982

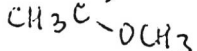
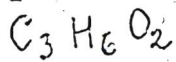
Sabbah L., Gomez Luis
Alfonso Torres.



HF, HS

moderna

Thermochim. acta, 1982,
52, N1-3, 285-295



Метилациетат

Pv

1981

1 Б932. Термодинамические свойства органических кислородных соединений. 51. Давления пара некоторых эфиров и жирных кислот. Ambrose D., Ellendrige J. H., Gundry H. A., Lee D. A., Townsend R. Thermodynamic properties of organic oxygen compounds LI. The vapour pressures of some esters and fatty acids. «J. Chem. Thermodyn.», 1981, 13, № 8, 795—802 (англ.)

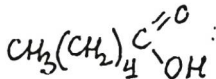
Методом сравнительной эбулиометрии измерены давл. пара метил-, этил-, пропил- и изопропилацетатов (I—IV), пропионовой, масляной и гексановой к-т (V—VII). Области определений (кПа): I—III, V 3—200; IV 6,5—200; VI 3—157; VII 3—31. Для II проведены также эбулиометрич. и статич. измерения, от 100 кПа до $P_{\text{крит.}}$. Результаты аппроксимированы ур-ниями Антуана, Чебышева и (для I, II) Вагнера, коэф. к-рых табулированы. Определены крит. т-ры I—IV 506,55, 523,30, 549,73, 531,00 К и крит. давл. I—II 4,750 и 3,882 МПа. Интерполированные по ур-ниям

1982, 19 АБ, N1.

Чебышева значения P и dP/dT при 298,15 К, т. кип. и dP/dT при 2 кПа, т. кип. и dP/dT при 101,325 кПа составили соотв.: I 28,828 кПа и 1,284 кПа/К, 249,76 К и 0,136 кПа/К, 330,018 К и 3,539 кПа/К; II 12,600 и 0,613, 265,36 и 0,129, 350,261 и 3,332; III 4,497 и 0,242, 283,97 и 0,121, 374,686 и 3,111; IV 7,892 и 0,401, 273,81 и 0,125, 361,751 и 3,206; V 0,451 и 0,031, 321,71 и 0,115, 414,313 и 3,147; VI 0,102 и 0,08, 342,67 и 0,113, 436,868 и 3,090; VII 0,005 и —, 378,82 и 0,107, 478,17 и 2,938. Сообщ. 50 см. «J. Chem. Thermodyn.», 1981, 13, 61.

А. С. Гузей

C₆H₁₂O₂



гексановая
кислота

1981

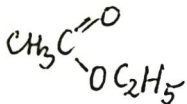
Ambrose D., Ellender J.H.,
Gurdz H.A., et al

J. Chem. Thermodyn., 1981,
13, N8, 795-802

P_v

C₄H₈O₂

1981



Этил-
ацетат

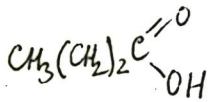
P.V

Ambrose D., Ellender J.H.,
Gunday H.A., et al

J. Chem. Thermodyn., 1981,
13, N8, 795-802

C₄H₈O₂

1981



жидкая
кислота

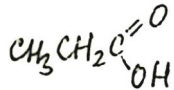
P_V

Ambrose D., Ellender J.H.,
Gaudry H.A., et al

J. Chem. Thermodyn., 1981,
13, N8, 795-802

C₃H₆O₂

1981



пропиокислая
кислота

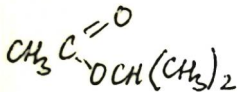
Ambrose D, Ellender J.H.,
Gundry H.A., et al

J. Chem. Thermodyn.,
1981, 13, n 8, 795-802

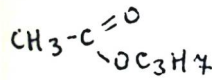
PV

$C_5H_{10}O_2$

1981



изопропен-
ацетат



пропил ацетат

Ambrose D., Ellendorff J.H.,
Gundry H.A., et al
J. Chem. Thermodyn.,
1981, 13, N 8, 795-802

P✓